

3,5-二甲基-4-叔丁基-2,6,7-双环硫化磷酸酯的合成

周巍, 黄翔, 巨修练*

(武汉工程大学化工与制药学院, 湖北省新型反应器与绿色化学工艺重点实验室, 湖北 武汉 430074)

摘要:以乙酰丙酮为起始原料, 经烷基化、羟甲基化、还原, 最后与 PSCl_3 环合, 成功合成了 1-硫代-1-磷杂-3,5-二甲基-4-叔丁基-2,6,7-三氧杂双环[2,2,2]辛烷。目标化合物及部分中间体的结构均通过 ^1H NMR、MS 进行了结构确证。

关键词:GABA 受体; 双环硫化磷酸酯; 合成; 杀虫剂

中图分类号:O626.23 文献标识码:A doi:10.3969/j.issn.1674-2869.2010.05.008

我国是农业大国, 农业是国民经济的基础, 而农药则是农业稳定、丰产的有力保障之一。国内生产及使用的杀虫剂大多为仿制国外早期的品种, 普遍具有毒性高、选择性差, 残留时间长、对环境影响大等突出问题。绿色化学农药是目前植物保护的重要手段, 随着新型、高效、广谱杀虫剂吡虫啉、锐劲特、溴虫腈等新型农药的成功开发以及分子生物学的研究进展, 作用专一的新型靶点不断地被发现, 为新型农药的设计和研究奠定了基础, 其中 γ -氨基丁酸(GABA)受体已日益引起农药学家和昆虫毒理学家的重视^[1,2]。

研究表明, 双环硫化磷酸酯类化合物能与 GABA 受体结合^[2-3], 具有较好的杀虫活性, 但相关研究仅仅局限在 3,4 位的取代^[4-6], 3,4,5 位有三个取代基的双环磷酸酯未见文献报道。本课题组研究发现, 当 4 位为叔丁基取代时, 杀虫活性最好^[4,7]。所以进而设计了 4 位为叔丁基取代, 3,4,5 位均有取代的双环硫化磷酸酯并对其合成方法进行了讨论, 对双环硫化磷酸酯的进一步研究提供了思路。

1 实验部分

1.1 仪器和试剂

核磁分析用 Bruker ARX-300 核磁共振仪测定 (TMS 为内标); 质谱分析用 Bruker Esquire2000 和 Shimadzu CCMS-QP5050A 质谱仪测定; 薄层分析用薄层硅胶板检测 (GF254, 青岛海洋化工厂); 柱层析所用硅胶为 H60 (青岛海洋化工厂); 熔点测

定用 YR-1 型药物熔点测定仪 (天津市分析仪器厂)。实验所用试剂均为国产分析纯或化学纯试剂, 部分溶剂在使用前进行了无水处理。测定熔点与沸点的温度计。

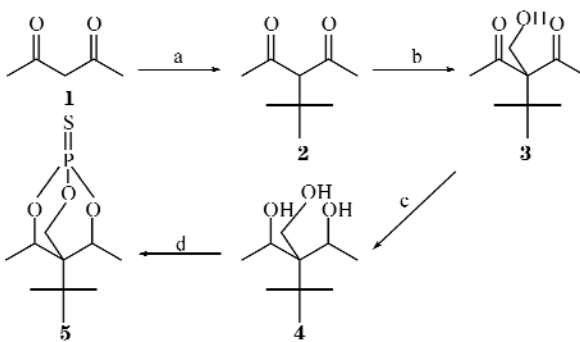


图 1 目标化合物的合成路线

Fig. 1 The synthetic routes of target compounds

注: 试剂与条件为 (a) t-BuOEt , conc H_2SO_4 , CH_2Cl_2 , 23 $^\circ\text{C}$, 16 h;
(b) Paraformaldhyde, K_2CO_3 , DMSO; (c) NaBH_4 , $\text{t-BuOH}-\text{MeOH}$;
(d) PSCl_3 , Py, CH_3CN 。

1.2 化合物的合成

1.2.1 3-叔丁基-2,4-戊二酮^[8] (2) 将 2,4-戊二酮 (40 g, 0.4 mol) 加入到盛有二氯甲烷 (80 mL) 的三口烧瓶中, 冰盐浴条件下, 缓慢滴加浓硫酸 (42.6 mL, 0.8 mol) 并搅拌, 控制滴加过程, 使反应体系的温度保持在 10 $^\circ\text{C}$ 以下, 浓硫酸滴加完毕后, 开始滴加叔丁醇 (47.4 g, 0.64 mol), 滴加完毕, 室温反应 16 h, 将水 (200 mL) 缓慢加入反应液中, 用石油醚 (200 mL \times 5) 萃取水相, 合并有机相并用硫酸镁溶液洗涤, 无水硫酸镁干燥后, 过滤, 滤液浓缩得粗产品, 经减压蒸馏后, 收集 56 ~ 58 $^\circ\text{C}$

收稿日期:2010-03-20

基金项目:国家自然科学基金(No. 20572084)

作者简介:周巍(1984-),男,湖北武汉人,硕士研究生。研究方向:药物合成。

指导老师:巨修练,教授,博士。研究方向:新农药研发,生物活性测试,计算机药物辅助设计。*通信联系人

/667 Pa 的馏分,得到的 3-叔丁基-2,4-戊二酮(22.5 g,36%)为浅黄色油状液体. MS (ESI) m/z 179 (M + Na); 335 (2M + Na). ^1H NMR (CD₃Cl, 300MHz) δ 1.04 (9H, s), 2.18 (6H, s), 3.62 (1H, s).

1.2.2 3-叔丁基-3-羟甲基-2,4-戊二酮^[9] (3)
将 3-叔丁基-2,4-戊二酮(1) (12.48 g, 80 mmol), 多聚甲醛(15 g), 碳酸钾(0.69 g, 5 mmol)和二甲基亚砜(120 mL)依次加入到 250 mL 的三口烧瓶中, 油浴升温至 80 °C, 反应 12 h. 冷至室温后, 用 300 mL 水稀释反应体系, 用氯仿(80 mL × 6)萃取水相, 合并有机相用水(100 mL × 3)反洗, 有机相再用无水硫酸钠干燥, 过滤, 浓缩, 粗品经柱层析 [V(石油醚):V(乙酸乙酯) = 6:1] 得到的 3-叔丁基-3-羟甲基-2,4-戊二酮为无色透明液体(5.71 g, 38.4%). MS (ESI) m/z 187 (M + 1); 209 (M + Na); 395 (2M + Na).

1.2.3 3-叔丁基-3-羟甲基-2,4-戊二醇^[10-11] (4)
向盛有 120 mL 叔丁醇的三口烧瓶中依次加入 3-叔丁基-3-羟甲基-2,4-戊二酮(5 g, 26.9 mmol), 硼氢化钠(2.55 g, 67.2 mol), 油浴升温回流反应, 在回流状态下缓慢滴加甲醇(10 mL), 滴加时间控制在 1 h 左右, 之后继续回流反应 1 h, 撤去油浴, 自然冷却室温, 加入水(120 mL)淬灭反应, 减压蒸除大部分的叔丁醇和甲醇, 水相用氯仿(40 mL × 8)萃取, 合并之后的有机相用无水硫酸钠干燥, 过滤, 浓缩得粗品, 经柱层析[V(二氯甲烷):V(甲醇) = 20:1]得白色固体(3.35 g, 65.6%). MS (ESI) m/z 213 (M + Na); 403 (2M + Na). ^1H NMR (CD₃OD, 300MHz) δ 0.99 (3H, s), 1.02 (3H, s), 1.07 (9H, s), 3.62 ~ 3.78 (3H, m), 4.23 (2H, s), 4.43 ~ 4.52 (1H, dd), 5.17 ~ 5.23 (1H, dd).

1.2.4 1-硫代-1-磷杂-3,5-二甲基-4-叔丁基-2,6,7-三氧杂双环[2.2.2]辛烷^[4,10] (5)
在氮气保护下, 向 50 mL 三口烧瓶中依次加入 3-叔丁基-3-羟甲基-2,4-戊二醇(1.2 g, 6.32 mmol), 干燥的乙腈(50 mL)和吡啶(1.5 g, 18.96 mmol), 冰浴下, 缓慢滴加用乙腈(5 mL)稀释的三氯硫磷(1.07 g, 6.32 mmol)溶液, 控制滴加过程中反应体系的温度不超过 5 °C, 滴加结束后, 撤去冰浴, 室温下搅拌反应 1 h. 浓缩除溶剂, 加入水(30 mL), 用二氯甲烷(30 mL × 2)萃取水相, 无水硫酸钠干燥, 浓缩后经柱层析[V(石油醚):V(乙酸乙酯) = 6:1]得白色固体(295 mg, 18.7%). MS (ESI) m/z 251 (M + 1); ^1H NMR (CD₃Cl, 300MHz) δ 0.99 ~ 1.02 (6H, dd), 1.07 (9H, m), 4.24 ~ 4.31 (2H,

m), 4.55 ~ 4.62 (1H, m), 4.64 ~ 4.71 (1H, m).

2 结果与讨论

2.1 乙酰丙酮的烷基化反应

乙酰丙酮和丙二酸二乙酯均属于 β -二羰基化合物, 但是乙酰丙酮的烯醇式更趋于稳定, 烯醇式的含量为 76.5%^[12], 特别是在质子溶剂中烯醇式的含量更大, 正是由于乙酰丙酮和丙二酸二乙酯在性质上存在着较大的差异, 所以我们在第一步烷基化时不能采用传统的方法(通过醇钠或氯化钠等强碱来使其成为负碳离子), 因为在强碱的作用下烷基化的产物均为 O 烷化的形式, 而得不到 α -C 烷化的产物. 我们采用的方法是通过与醇在浓硫酸下进行脱水反应, 取得了较好的效果.

2.2 中间体三羟基化合物与 PSCl_3 的环合反应

此步环合反应的本质是酯化反应, 三个羟基同时参与关环, 属于多官能团反应, 故此步反应产率较低, 考虑到还会发生分子间的反应, 所以反应时应适当控制反应液的浓度, 从而减少分子间反应的发生几率. 另外, 反应时间的控制也较为重要, 通过多次研究, 发现随着反应时间的延长, 产率会逐渐降低, 控制反应时间在 0.5 ~ 1 h 之间, 反应效果相对较好.

此化合物的活性测试将在后续工作中进行, 有望在生物活性上有所突破, 从而为高效、安全杀虫剂的开发提供候选物.

参考文献:

- [1] Okada Y, Nitsch-Hassler C, Kim J S, et al. Role of γ -aminobutyric acid (GABA) in the Extrapyramidal Motor System I Regional Distribution of GABA in Rabbit, Rat, Guinea Pig, and Baboon CNS [J]. *Exp Brain Res*, 1971, 13:514 ~ 518.
- [2] 巨修练. GABA受体及其非竞争性拮抗剂的研究进展[J]. 世界农药, 2007, 29(1): 28 ~ 33.
- [3] Squires R F, Casida J E, Rechardson M et al, Rechardson Metal. [35S] t-butylbicycophosphorothionate Binds with High Affinity to Brain Specific Sites Coupled to γ -Aminobutyric Acid-A and Ion Recognition Sites [J]. *Mol Pharmacol*, 1983, 23:326 ~ 336.
- [4] Ju X L, Ozoe Y. Bicycophosphorothionates Antagonists Exhibiting Selectivity for Housefly GABA Receptors [J]. *Pestic Sci*, 1999, 55:971 ~ 982.
- [5] Kuriyama T, Ju X L, Ozoe Y, et al. Nematocidal Quassinooids and Bicycophosphorothianates: A Possible Common Mode of Action on the GABA receptor [J]. *Pestic Biochem Physiol*, 2005, 81:176 ~ 187.
- [6] Ozoe Y, Akamatsu M, Higata T, et al. Picrodendrin and

- Related Terpenoid Antagonists Reveal Structural Differences between Ionotropic GABA Receptors of Mammals and Insects. *Bioorg Med Chem*, 1998(6):481–492.
- [7] 吴有斌, 周巍, 巨修炼. 4-羟基-3-氟基-双环笼状磷酸酯类化合物的合成及生物活性研究[J]. 有机化学, 2008, 28(7):1273–1277.
- [8] Jens C, Thomas K, Thomas W, et al. Ccrium - Catalyzed α -Hydroxylation Reactions of α -Cyclopropyl β -Dicarbonyl Compounds with Molecular Oxygen [J]. *Eur. J Org Chem*, 2006;2601–2608.
- [9] Yoshihisa O, Morifusa E. Synthesis and Some Spectral Characteristics of Bicyclic Phosphate, GABA Antagonists[J]. *Agric Biol Chem*, 1982, 46(2):411–418.
- [10] 王恩恩, 张广良, 金磊. 新型抗病毒药物法昔洛韦的合成[J]. 吉林大学自然科学学报, 2000, 1(1):95–98.
- [11] Soai K, Oyamada H, Okawa A. Sodium Borohydride-t-butyl Alcohol-Methanol as An Efficient System for the Selective Reduction of Esters [J]. *Synth Commun*, 1982, 12(6):463–467.
- [12] 刑其毅, 裴伟伟, 徐瑞秋, 等. 基础有机化学: 下册 [M]. 3 版. 北京: 高等教育出版社:654–659.

Synthesis of 3,5-dimethyl-4-t-butyl-bicyclophosphorothionate

Zhou Wei, Huang Xiang, Ju Xiu-Lian *

(Hubei Key Laboratory of Novel Chemical Reactor and Green Chemical Technology, School of Chemical Engineering and Pharmacy, Wuhan Institute of Technology, Wuhan 430074, China)

Abstract: Bicyclophosphorothionates are GABA receptor antagonists which show the selectivity between insects and mammals. 1-sulfo-1-phosphor-3, 5-dimethyl-4-t-butyl-2, 6, 7-trioxabicyclo [2, 2, 2] octane was synthesized from acetylacetone via alkylation, hydroxymethylation, reduction and cyclization with PSCl_3 . The target compound is confirmed by ^1H NMR, MS spectra.

Key words: GABA receptor; bicyclophosphorothionate; synthesis; insecticide

本文编辑: 张瑞

☆

(上接第 27 页)

Synthesis and characterization of iobitridol

DUAN Rong¹, LIU Yang¹, HUANG Qi-mao¹, XI Jiang-bo², JI Min², BAI Zheng-wu^{1,*}

(1. Key Laboratory of Green Chemical Process of Ministry of Education, Hubei Key Laboratory of Novel Chemical Reactor and Green Chemical Technology, Wuhan 430074, China; 2. Zhongnuo Medical Devices Technology Ltd., Hefei 230022, China)

Abstract: Iobitridol was synthesized by two-step condensation reactions of 5-amino-2,4,6-triodoisophthaloyl chloride with 2-isopropyl-1,3-dioxane-5-carboxylic acid chloride and 3-methylamino-1,2-propanediol in turn, followed by the de-protection through hydrolysis. The structures of Iobitridol and its intermediates were characterized by FT-IR, ^1H NMR and elemental analysis.

Key words: contrast agent; iobitridol; synthesis; structural characterization

本文编辑: 张瑞